LAPIAZ

COMITE REGIONAL VALENCIANO DE ESPELEOLOGIA

N° 2 - AÑO 1978 - VALENCIA

Vista de la Cova de les Dones

LAPIAZ | N 2 - 1978 | Págs 7-26

UN LINCE DE LAS CAVERNAS EN LA CUEVA DEL PUERTO

(CALASPARRA – MURCIA)

Y OTROS RESTOS INEDITOS

Por: Inocencio Sarrión (*)

RESUMEN.-

Trabajo en el que se da cuenta principalmente del hallazgo de un ejemplar de lince en la Cueva del Puerto (Calasparra-Murcia), encontrado a 1000 metros de su boca de entrada. Por su osteometría entra dentro de las medias de los linces fósiles hallados en las estaciones würmienses de L'Hortus, Campefiel, etc., atribuidos a la variedad del Felis (Lynx) Spelea. Boule, y así como de otros restos inéditos hallados en la región valenciana.

RESUME.-

Travail dans lequel on expose principalement la trouvaille d'un exemplaire de lynx dans la grotte del Puerto (Calasparra-Murcia), trouvé à 1000 metres de sa bouche d'entrée. Par son ostéométrie se place dans la moyenne des lynx fossiles trouvés dans les gisements du würm de L'Hortus, Campefiel, etc., apartenant à la variété du Felis (Lynx) Spelaea. Boule, ainsi que d'autres restes inédits trouvés dans la région valencienne (Espagne).

INTRODUCCION.-

En una de las habituales exploraciones subterráneas de la Sección de Espeleología del Centre Excursionista de València, les llevó a la Cueva del Puerto, de Calasparra.

Cavidad que por aquellas fechas se le calculaba un recorrido superior a los 3.000 m. con profusión de galerías laberínticas, muchas veces sobrepuestas. En torno a los 1.000 m. de recorrido el amigo Policarpo Garay, halló los restos óseos de un animal, al cual anteriormente le habían cercado con piedras, para evitar su aplastamiento. El cráneo se hallaba destrozado. Se encontraba en posición alargada sobre la pendiente de la galería, la cual tenía unos 40 m. de altura y se comunicaba con otra superior. Recogió un fragmento de maxilar superior con su dentición, para facilitar su clasificación.

Cuando los observamos comprobamos que correspondían a un felino, concretamente a un lince.

En visita posterior, y en una caja acondicionada, recogió todos los huesos, enumerando -in situ- la correlación vertebral, así como separando las falanges anteriores de las posteriores. Observando que en el intervalo de tiempo entre ambas visitas, lo habían removido, ya que si bien en la primera, exceptuando la cabeza, los demás huesos se hallaban enteros, esta vez

(*) Del Centre Excursionista de València.

varios de ellos se encontraban rotos. En descargo debemos decir que los citados se encontraban en un estado de conservación que la menor presión los quebraba. Hecho que comprobarían los visitantes.

Una vez en nuestro poder intentamos su restauración, al mismo tiempo que los sometimos a un baño endurecedor.

Nuestro interés en la notificación de la osteometría de estos restos se debe a dos razones. La primera, que poseyendo tantos restos de un mismo animal nos sirviera de base para la clasificación y determinación del tamaño de otros, la mayoría de ellos incompletos, hallados por nuestros compañeros y por nosotros mismos. En segundo lugar por que al comparar las medidas principales (longitud y diámetros epifisarios) con las obtenidas en otros yacimientos, vimos que coincidian con las medias de Campefiel (Paulus, 1945; Bonifay, 1968), pertenecientes a la subespecie del lince de las cavernas, el Felis (Lynx) pardina. Temminck raza Spelaea de Boule (1910), especie de tamaño intermedio entre los linces actuales, meridional (Lynx pardina) y boreal (Lynx lynx), y del que años más tarde M.F. Bonifay (1968), debido a sus características lo ha considerado raza diferente y lo ha denominado Felis (Lynx) Spelaea. Boule.

OSTEOMETRIA.-

HUMERO

1. Longitud absoluta	163
2. Longitud gran trocanter	22,5
3. Diámetro transversal extremidad proximal ...(E.L.C.)(✱).....	29,3
4. Diámetro antero-posterior extremidad proximal ...(E.L.C.).....	36,7
5. Diámetro transversal diáfisis	12,5
6. Diámetro antero-posterior diáfisis	17
7. Diámetro transversal máximo extremidad distal	33,4
8. Diámetro antero-posterior máximo extremidad distal	20
9. Diámetro transversal inferior de la tróclea	17,5
10. Diámetro vertical máximo de la tróclea (cara anterior)	17,6
11. Diámetro transversal máximo tróclea (cara anterior)	23,2
12. Longitud media fosa olecraniana	13
13. Anchura media fosa olecraniana	11
14. Longitud agujero supraepitroclear (cara anterior)	11
15. Anchura agujero supraepitroclear (cara anterior)	3

(✱) Medidas tomadas según el eje longitudinal del cuerpo del hueso.

CUBITO (✱)

1. Longitud absoluta	18
2. Anchura gran cavidad sigmoidea ... (*)	12
3. Anchura pequeña cavidad sigmoidea	15
4. Longitud cresta anterior olecraniana	24,5
5. Longitud cresta anterior olecraniana desde apof. coronoidea .	45
6. Diámetro transversal cumbre olecranon	12,5
7. Diámetro antero-posterior cumbre olecranon	18,9
8. Diámetro mayor antero-posterior olecranon (pico olecranon) ..	23
9. Diámetro menor antero-posterior olecranon (escot. sigmoidea).	15
10. Diámetro mayor antero-posterior apófisis coronoidea	26,4
11. Diámetro máximo gran cavidad sigmoidea	14,8
12. Diámetro mínimo gran cavidad sigmoidea	8,8
13. Diámetro transversal diáfisis (parte media)	6,9
14. Diámetro antero-posterior diáfisis (parte media)	13

(✱) Ambos cubitos presentan rotas su extremidad distal, es decir la apófisis estiloidea, por lo que impide la medicción exacta de su longitud absoluta.

(*) Sin contar la carilla de la apófisis coronoidea.

RADIO

1. Longitud absoluta	156,7
2. Diámetro transversal de la cabeza	15,8
3. Diámetro antero-posterior de la cabeza ...(✱) (E.L.C.).....	12,5
4. Diámetro transversal del cuello	11,5
5. Diámetro antero-posterior del cuello	8
6. Diámetro transversal foseta radial	14,8
7. Diámetro transversal diáfisis	12,3
8. Diámetro antero-posterior diáfisis	7
9. Diámetro transversal epífisis inferior	23,8
10. Diámetro antero-posterior epífisis inferior	13,6
11. Diámetro transversal de la superficie articular inferior ...	17,6
12. Diámetro antero-posterior superficie articular inferior	11,1

(✱) Diámetro menor de la silueta elipsoidal que forma la cabeza es de 11.

HUESOS DEL CARPO

	Escafoides	semilunar	Pisiforme	Ganchoso (?)(*)
1. Longitud	16,5	19 (✱)	18	13,1
2. Anchura	12,3	14,4	9,7	7,5
3. Espesor				8,3

(✱) Medidas tomadas según su eje posicional.

(*) Carilla articular con el metacarpo IV (Mc. IV).

METACARPO

	1	2	3	4	5	6	7	8
II	54,5	8,5	12,2	6	6,7	9,5	8,8	8,4
III	60	9,5	11	6,5	6	9,5	8,8	8,8
IV	56,9	8,7	10	6	5,9	9,4	8,5	8,5
V	46,5	9,4	8,5	6,4	5	8,7	8,5	8,2

1. Longitud absoluta 2. Diámetro transversal extremidad proximal 3. Diámetro antero-posterior extremidad proximal 4. Diámetro transversal diáfisis 5. Diámetro antero-posterior diáfisis 6. Diámetro transversal máximo extremidad distal 7. Diámetro transversal articulación distal 8. Diámetro antero-posterior articulación distal.

FALANGES ANTERIORES

Primeras falanges	2º	3º	4º	5º	Segundas falanges	
1. Longitud absoluta	26,4	31,5	29,6	23,1	23	17,5
2. Diámetro trans. prox.....	9	9,5	9,1	8,6	7,9	7
3. Diámetro ant.-post. prox.	7,8	7,4	7,5	7	7,2	7
4. Diámetro trans. distal...	6,7	7,8	7,2	6,7	7	6,1
5. Diámetro ant.-post. distal	5,4	6,5	6	5,4	5,5	5

FALANGES DISTALES

Terceras falanges				
1. Longitud absoluta	18	17,2	17,2	14,4
2. Longitud cara superior	17,5	16,1	-	13,6
3. Longitud borde anterior	14,4	12,1	-	10,2
4. Altura en la eminencia piramidal	-	11,4	-	10,3
5. Longitud máxima superficie articular ..	-	-	-	-
6. Anchura máxima superficie articular ...	6,5	5,3	5,1	4,8

PELVIS (frag. pelvis izq.)

1. Longitud de la cresta iliaca a la ceja de la cavidad cotiloidea ..	70,5
2. Diámetro de la paleta	31
3. Diámetro transversal columna del ilión	23,6
4. Diámetro antero-posterior columna ilión	9,8
5. Diámetro transversal cavidad cotiloidea	18

ESCAPULA (frag. escapula dcha.)

1. Diámetro antero-posterior máximo epífisis articular	25,1
2. Diámetro antero-posterior cavidad glenoidea	22,3
3. Diámetro transversal cavidad glenoidea.....	18,6
4. Anchura cuello omoplato	21,8
5. Longitud tuberosidad supraglenoidea apófisis coracoidea ...	11,2

ROTULA

1. Longitud	25,1
2. Anchura	16,6
3. Grosor	8,3

FEMUR

1. Longitud absoluta	195
2. Longitud intertrocanterina	31
3. Longitud del cuello	19,5
4. Diámetro transversal de la extremidad proximal	38
5. Diámetro transversal de la cabeza	17,1
6. Diámetro antero-posterior de la cabeza	17,3
7. Diámetro transversal diáfisis	14,5
8. Diámetro antero-posterior diáfisis	14
9. Diámetro transversal epífisis inferior	34
10. Diámetro antero-posterior epífisis inferior	33,5
11. Altura del labio externo de la tróclea	23
12. Diámetro transversal mayor de la tróclea	15,2
13. Diámetro transversal menor de la tróclea	12,7
14. Diámetro transversal de los condilos del fémur	32,8
15. Diámetro transversal fosa intercondilia	10

TIBIA

1. Longitud absoluta	195
2. Longitud cresta de la tibia	51,7
3. Diámetro transversal máximo extremo proximal	34,7
4. Diámetro antero-posterior extremo proximal	37,1
5. Diámetro transversal diáfisis	13,1
6. Diámetro antero-posterior diáfisis	16,6
7. Diámetro transversal epífisis distal	25,8
8. Diámetro antero-posterior epífisis distal	15,5

PERONE (frag. dcho.) (✱)

1. Diámetro transversal maleolo	7
2. Diámetro antero-posterior maleolo	14,2

(✱) Solo se conserva la articulación distal, es decir el maleolo.

ASTRAGALO (✱)

1. Diámetro transversal cuello astragalino	13
2. Diámetros mayores carilla articular escafoides	15 X 11

(✱) De los astragalos solamente conservamos el izquierdo, el cual se halla fragmentado por su extremo anterior, seccionando en parte la polea astragalina.

Las medidas obtenidas de longitud y anchura son de 26 X 22 mm., aunque posiblemente deben corresponderles 1 ó 1,5 mm. más, por lo que las reproducimos a título orientativo.

CALCANEO (✱)

1. Longitud absoluta	50,5
2. Diámetro transversal máximo	20,5
3. Diámetro antero-posterior máximo	19,6
4. Diámetro transversal tuberosidad calcáneo	13.1
5. Diámetro antero-posterior tuberosidad calcáneo	13,1
6. Diámetro máximo cabeza calcáneo	15,5
7. Diámetro transversal carilla articular cuboidea	12
8. Diámetro antero-posterior carilla articular cuboidea	11,6

(✱) Poseemos ambos calcáneos, pero fragmentados, mas con la suerte de que ambos son complementarios, con lo que hemos podido configurar el cuadro anterior.

CUNEIFORME III

1. Espesor	11,2

METATARSOS

	1	2	3	4	5	6	7	8
II	-	8,6	12,6	7	6,4	10,5	9,5	9,8
III	83,2	12	16	9,5	7	11,4	10	10,3
IV	-	-	-	-	6,8	10,5	9,4	9,9
V	-	6,5	11,6	6,4	5,1	9,2	8,5	8,5

FALANGES POSTERIORES

Primeras falanges				Segundas falanges
1.	3	-	-	23,3
2.	10	7,3	-	8,9
3.	-	7,9	-	7,9
4.	8,3	-	8,2	7,7
5.	6,5	-	6,4	6,4

ATLAS

1. Diámetro transversal anterior máximo de la vertebra	34,6
2. Diámetro transversal superficie articular inferior	23,5
3. Longitud del cuerpo de la vertebra arco anterior	7,4

VERTEBRAS

	3ª Cervical	2ª Dorsal
1. Longitud diáfisis (*)	22	17,3
2. Diám. trans. agujero verteb. ant. y post...	14-16	7-9,5
3. Alt. agujero verteb. ant. y post.....	10-10,3	11,5-8
4. Diám. trans. cabeza artc. ant. y post. (*).	13,5-13,3	14,5-18
5. Alt. cabeza articul. anterior y posterior..	6,8-7,8	10,8-10,9
6. Distancia máxima super articular posterior.	28,5	12,5

3ª Lumbar	Sacro
37,3	-
13,5-15	11
9,7-11	3
21-21,5	23,5
13-13	11,8
14,7	-

(*) En la cervical, va incluida la oblicuidad de las carillas articulares.

(*) En la medida de la vertebra dorsal, lleva incluida las carillas articulares de las costillas.

PLACAS OSEAS DEL ESTERNON

1. Longitud absoluta	25,3	23,5	21,2
2. Diámetros trans. carillas articulares	11-10,9	10,7-10,5	8,2-9
3. Diámetros ant.-post. carillas articulares.	8-8	8,7-8,2	8,6-8,2
4. Diámetro transversal diáfisis	7,1	6,5	5,5
5. Diámetro antero-posterior diáfisis	4,5	5	4,5

CRANEO

Como se ha dicho anteriormente, el cráneo se hallaba muy deteriorado. La bóveda craneana es prácticamente inexistente, solamente se conserva un fragmento del temporal izquierdo, con la porción callosa, articulación con el maxilar y la protuberancia temporal; uno de los cóndilos del agujero occipital, toda la arcada anterior incisiva y parte del maxilar derecho , hasta la altura del Pm^3, roto por el agujero suborbital. Se conservan los alveolos del Pm^3, canino y los 6 incisivos. Se conserva el incisivo tercero izquierdo y el canino derecho, éste deteriorado en la parte correspondiente a la corona.

Las mandibulas, presentan rotas las ramas ascendentes. Se conserva la apófisis articular izquierda aislada. La rama mandibular izquierda se halla rota entre el canino y el premolar, conservandose el molar primero; los premolares 3 y 4 se hallan rotos a la altura de su borde alveolar. De la derecha se conservan los premolares, el canino se halla asimismo roto por su raiz. Posee los orificios alveolares del molar primero.

MAXILAR SUPERIOR

1. Longitud alveolar del Pm^3	10,7
2. Longitud borde post. del Pm^3 borde ant. sutura incisiva	37,4
3. Diámetro transversal serie alveolar incisiva	16,6

CANINO DERECHO SUPERIOR

1. Diámetros nivel borde alveolar	9,5 X 7,5

INCISIVO TERCERO SUPERIOR

1. Longitud	15,5
2. Longitud borde alveolar cúspide cara lingual	5,6

MAXILAR INFERIOR

1. Longitud borde alveolar M_1 borde anter. sínfisis alveolar..	50,8
2. Longitud molariforme alveolar dcha e izq. (✱)	33-34
3. Longitud Pm_3 y Pm_4	19,3
4. Espesor de la rama nivel parte post. de la sínfisis	11,5
5. Altura rama en mismo punto	18,4
6. Espesor rama en altura Pm_4	10
7. Altura rama desde borde alveolar Pm_4 (cara lingual)	20

(✱) Estas diferencias deben ser motivadas por la restauración de las mandíbulas.

CANINO INFERIOR (✱)

1. Diámetros mayores raiz canino	9 X 7

(✱) Descripción denticular. El Pm_3 posee el dentículo anterior y posterior bien marcados. El Pm_4 dentículos marcados, con ligerísimo, casi inexistente cíngulo posterior. M_1 dentículo anterior y medio normales, casi inexistente cíngulo posterior, al igual que una ligera inflexión en el lugar correspondiente al metacónido. (fig. 1, nº 1 y 2).

	Pm_3 dcho	Pm_4 dcho	M_1 izq.
1. Longitud.....	8,5	11	15,2
2. Anchura	4,8	5,6	6,1
3. Altura (✱) ...	7	7,5	9,5

(✱) Altura del borde alveolar a su cúspide o procónido.

COMPARACION METRICA CON OTROS YACIMIENTOS.-

WURMIENSE

Pm_3	1 2	8,5 4,8	7,5-9 4,2-5	9,1-8,3 4,7-4,6			8,9 4,6	
Pm_4	1 2	11 5,6	10-11,6 4,6-5,5	11,3-10,2 5,7-5,2			11,5 5,6	17,2 7,6
M_1	1 2	15,2 6,1	13,2-14,8 5,6-6,8	14,8-15 6-6	13,3 5,5	14,5-14,2 6,2-6,2	14,5 6,5	14,7
		C.del PUERTO	CAMPEFIEL (Paulus, 1945)	HORTUS (Pillard, 1972)	C.NEGRA (Perez, 1977)	C.GEGANT (Viñas y Villalta, 1975)	BALAUZIERE (Paulus 1945)	LOS CASARES (Altuna, 1973)

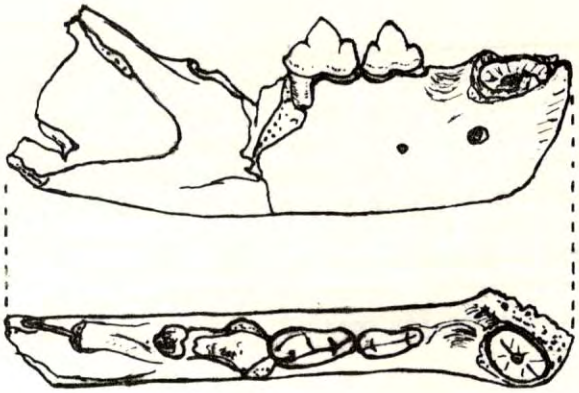

1

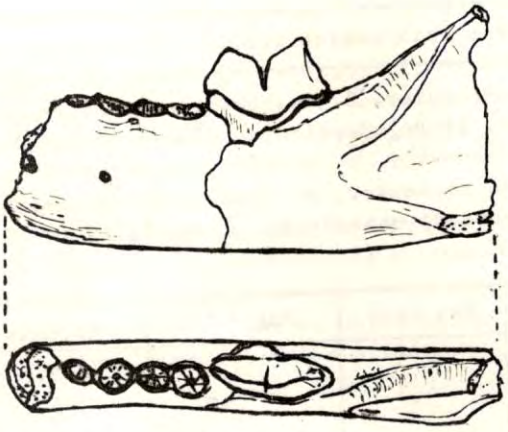

2

3

Fig. I. Nº 1-2. Mandíbulas de la Cueva del Puerto. Con Pm_3, Pm_4 y M_1 respectivamente.

Nº 3. Mandíbula con Pm_4 de la Cova Avellanera. T.N.

		WURMIENSE II *						ACTUAL	
		CUEVA del PUERTO	CAMPEFIEL (Bonifay,1968) (Paulus,1945)		HORTUS (Pillard, 1972)	C.NEGRA (Perez, 1977)		L. Lynx (Bonifay, 1968)	L.pardina (Bonifay, 1968)
			Md	Extrs.		Capa			
HUMERO	7*	33,4	32	30-36	38,2		24,5	40,2	27,5
CUBITO	1	18	182	166-220	195				
RADIO	1 2 9	156,7 15,8 23,8	156 14,9 23	140-178 14-17 19-26	166 15 23,5	6ª	16	186,8 16,8 27,9	132,8 13,2 18,5
FEMUR	4 5	38 17,1				1ª	30,2 15,9		
TIBIA	1 3 7	195 34,7 25,8	193 34 24	175-222 31-39 23-29	215 39 28	1ª	27,1	244 39 28,9	167 30 21
CALCANEO	1	50,5	50	45-56	51,4				
ASTRAGALO	1 2	26 22	27 23	25-31 20-27	29,5-29,6 22,1	1ª- 10ª	25,2-25,1 23,7-22,2		

(*) Los datos sobre los yacimientos de Campefiel, Balauziere, de Paulus y de Bonifay. Los hemos tomado a través de la obra de B.Pillard (1972).

(*) Números que anteponemos a nuestras mediciones.

Como hemos podido observar las medidas del lince de la Cueva del Puerto coinciden con las medias de Campefiel, Hortus, etc., correspondientes al lince de las cavernas .

Boule (1910) en su trabajo sobre las Cuevas de Grimaldi, nos hace ver que las medidas extremas de la longitud molariforme mandibular es de 33 a 36 mm en este lince, tomadas sobre nueve ejemplares. Los del lince meridional de 27 a 32, sobre catorce y de 36 a 38 los del boreal, tomadas sobre cuatro muestras.

Así mismo nos habla que sobre nueve ejemplares de la muela carnicera inferior, su longitud oscila entre 13,5 y 15 mm. a la par que nos muestra la irregularidad de la parición en el lince de las cavernas, de un rudimentario dentículo posterior sobre el cíngulo basal, hecho característico que sirve para distinguir el boreal del meridional.

En lo que respecta al que tratamos, vemos que la morfología del sistema molariforme coincide con la del lince ibérico, con dudas en el M_1 por su ligerísima inflexión en el lugar del dentículo posterior, siendo su longitud molariforme alveolar entorno a los 34 mm., así como la del M_1 es de 15,2,

lo que confirma una vez más la inclusión osteométrica al lince que nos ocupa, dentro de la variedad del Felis (Lynx) pardina Spelaea. Boule.

OTROS RESTOS INEDITOS DE LINCE.-

✸ Cova de Avellanera (Catadau - Valencia).

Cavidad conocida de antaño, ha sido objeto de numerosas remociones, tanto desde tiempos antiguos, Vilanova i Piera (1893) y Trullenque (1901), dan ya cuenta de esta situación; como en tiempos recientes, en busca de los quiméricos tesoros, a la vez que destrozaban el yacimiento arqueológico que contenia, dejando abandonados materiales líticos y óseos, los cuales fueron recogidos por el amigo Enrique Torres.

Por lo aducido por los antedichos autores y lo observado por nosotros, se aprecian varias etapas de visitación y ocupación. Una esporádica romana, otra de enterramientos posiblemente eneolíticos, y otra, la más importante, epigravetiense representada por una característica industria lítica (los datos siguientes forman parte de un trabajo sobre dicha cueva, que en breve pensamos dar a conocer) en la que predominan los raspadores terminales sobre lasca, 27,27 %; las hojitas de dorso rebajado alcanzan el 9,99 % sobresaliendo entre ellas dos puntas azilienses (la nº 36 de la lista-tipo de Escalón de Fontón) y en la que los buriles bien definidos son inexistentes , solamente hay tres piezas dudosas y dos que podrían entrar en el campo de los nucleidales, en cuyo caso alcanzarían todos entorno al 4 %, indices que nos llevan a estaciones del tipo de S. Gregori, L'Areny, Pinar de Tarruella, etc. Toda ella acompañada de una abundante fauna, con una pátina uniforme que no hemos dudado considerar coetánea de la misma. Destacando la preponderancia de caracoles (Helix nemoralis) junto al conejo (Oryctolagus conniculus), le siguen en importancia el ciervo y la cabra hispánica, y a distancia, con escasos restos que indican un número minimo de individuos, el jabalí, lince, toro, caballo, erizo, liebre, gato silvestre, lagarto. En aves hemos clasificado restos de perdiz, tórtola, chova piquigualda, dos huesos coracoides no clasificados. Vertebra de pez, fragmentos de Pecten jacobeus y tres de Cardium edule.

La aparición de hélices, conejos y cérvidos, nos indica una climatología húmeda y boscosa, que junto a la industria lítica claramente epigravetiense con influencias azilienses, nos lleva a etapas epipaleolíticas sincrónicas de las fases climáticas Alleröd y Dryas III (Escalón de Fontón , 1975).

Los restos de lince que hemos hallado en Avellanera son los siguientes: rótula, fragmento de astrágalo, fragmento distal de MT I V , fragmento proximal de cubito izquierdo, fragmento de rama mandibular izquierda con canino y el Pm_3 rotos por las raices y el Pm_4 intacto.

En los huesos se observan algunas roturas intencionadas, así como ennegrecimientos por el fuego.

Las medidas que hemos podido tomar las comparamos con las de la Cueva del Puerto.

La rama mandibular de Avellanera es menos robusta que la del Puerto, sin embargo su dentición es ligeramente mayor, al igual que su Pm_4 es mucho más elevado, sus dentículos son más destacados y presentan un cíngulo basal diferenciado (fig. 1, nº 3).

ROTULA			METATARSO IV			CUBITO		
	Puerto	Avellane.		Puerto	Avell.		Puerto	Avellanera
1.	25,1	23,4	4.		6	4.	24,5	19,4
2.	16,6	14,6	5.	6,8	5	6.	12,5	9
3.	8,3	8,3	6.	10,5	8	7.	18,9	16,2
			7.	9,4	8	8.	23	18,3
			8.	9,9	8,5	12.	8,8	7

RAMA MANDIBULAR			CANINO			Pm_4		
	Puerto	Avellanera		Puerto	Avell.		Puerto	Avellanera
3.	19,3	19,5	1.	9 X 7	9,2 X 6	1.	11	11,5
5.	18,4	16,2				2.	5,6	5,7
6.	10	8,9				3.	7,5	9
7.	20	16,8						

La osteometría comparada nos dice que es un ejemplar ligeramente inferior al de la cueva del puerto, pero pensamos que entra dentro de las medidas del lince de las cavernas. El cíngulo basal del Pm_4 elemento característico del lince boreal, en un animal inferior al mismo, es un elemento más para reafirmarnos en nuestras ideas, ya que estas características mixtas se dan en los linces fósiles, como nos lo ha hecho ver el reiteradamente mencionado Boule.

✸ Cova de la Sarsa (Bocairente - Valencia).

En el Museo Municipal de Bocairente se halla expuesta una mandíbula de lince, junto con otros materiales procedentes de la importante y famosa estación neolítica de la Cova de la Sarsa (San Valero, 1950).

Según nos cuenta su conservador, el compañero Vicente Casanova, la halló en el sumidero procedente de las excavaciones antiguas. Se trata de una mandíbula derecha, que solamente presenta rota la cumbre de la apófisis coronoidea, faltándole de su dentición los incisivos.

MEDIDAS

1. Longitud apófisis posterior borde anterior sínfisis	87
2. Longitud máxima cóndilo borde anterior sínfisis	87,5
3. Anchura del cóndilo	16,5
4. Altura rama mandibular parte posterior sínfisis	16,6
5. Espesor rama mandibular parte posterior sínfisis	7,8
6. Altura rama mandibular altura M_1 lado lingual	16,5
7. Espesor rama mandibular altura M_1	7,4
8. Longitud molariforme	31,4
9. Longitud molariforme incluido canino	46,3
10. Diámetros mayores canino	7,6 X 5,5

Descripción molariforme. El Pm_3 posee el dentículo anterior y posterior diferenciados con ligerísimo cíngulo posterior. El Pm_4 dentículos bien marcados pero sin cíngulo basal posterior. El M_1 sin rastro de cíngulo basal y con una ligerísima inflexión en el lugar del dentículo posterior.

	Pm_3	Pm_4	M_1
1.	8,4	10,3	13,1
2.	4,4	5,5	5,7
3.	6,8	7,3	9,4

		Puerto	Sarsa
Pm_3	1.	8,5	8,4
	2.	4,8	4,4
Pm_4	1.	11	10,3
	2.	5,6	5,5
M_1	1.	15,2	13,1
	2.	6,1	5,7

Si exceptuamos la variación métrica la morfología de ambos sistemas molariformes es muy semejante, exceptuando el pequeño talón posterior del Pm_3 de la mandíbula de la Sarsa, inexistente en la del Puerto. Pero según hemos visto por las medidas comparativas que ofrece Boule, tanto como por su longitud molariforme 31,4, como por la del M_1 13,1, entra dentro de las características del Felis (lynx) pardina. Temminck.

✸ Avenc del Turio (Fanzara - Castellón).

Recientemente compañeros de la Sección de Espeleología del Centre Excursionista de València, consiguieron batir el record de profundidad en nuestra región,al llegar a la cota de los -220 m. en el Avenc del Turio.

El amigo Josep Fernández i Peris, halló entorno a los 200 m. unos restos óseos, que resultaron pertenecer a un lince.

Debido a la profundidad en que se hallaban, sumado a la estrechez de la diaclasa y al mal estado de su conservación, solo se pudo rescatar un fémur y varios fragmentos de incisivos.

El fémur izquierdo se halla en buen estado de conservación debido a que en su cara anterior presenta toda una cubierta calcárea de varios milímetros de espesor, que si bien dificulta la exactitud métrica, ha evitado su descomposición. Presenta varias roturas recientes, en su parte proximal afecta a los trocanteres y en la distal parte de las articulaciones condileas.

Las medidas que hemos podido tomar las comparamos con las del fémur de la Cueva del Puerto.

	Puerto	Turio
1.	195	175
5.	17,1	15
7.	14,5	12,6
9.	34	27
10.	33,5	26
15.	10	8

Como observamos todas las mediciones son proporcionalmente menores , por lo que le consideramos como perteneciente a la subespecie del lince ibérico, es decir el Felis (Lynx) pardina. Temminck.

OBSERVACIONES.-

Es obvio por nuestra parte decir que son múltiples los restos de lince hallados en nuestra península. En el trabajo de Boule (1910) se hace mención de ellos comentando los de Busk (1877) y Harlé (1909-1910).

Altuna (1972) en su tesis doctoral da buena cuenta de otros yacimientos, haciendo observar que la mayoría de los autores los han clasificado como pertenecientes a Felis (lynx) pardina. Otro tanto hace Viñas y Villalta (1975) con la zona nordoriental de la península, si bien los hallazgos de la Cova del Gegant, los enclava dentro de la subespecie del Felis (lynx) pardina Spelaea. Boule, comparándolos con los del Toll.

De esta misma subespecie los clasifica F. de Villalta a los hallados en la Cueva B de Olopte (Monzonis 1975) correspondiente a la fase del Würn y a los hallados en la Cueva del Reclau Viver, niveles del paleolítico superior.

Con respecto a esta subespecie, Boule (1910) comentando los hallazgos peninsulares de Busck y Harlé dice que muchas de las especies estudiadas, clasificadas como Felis pardina, pertenecen a ejemplares más robustos que éstos, y pertenecientes a la misma especie que los de Grimaldi.

Hace notar que la falta del metacónido y talón basal en el M_1, pudiera representar una forma más evolucionada que la francesa, la cual se aproximaría más al actual lince ibérico.

Los restos hallados en Los Casares (Altuna, 1973) y Urtiaga (Altuna, 1972), si bien su autor se muestra cauto en cuanto a su determinación, por la escasez de restos hallados, su valoración métrica hace pensar en el Felis Lynx lynx.

Consultando la bibliografía al respecto observamos que la mayoría de los restos hallados, son producto de excavaciones arqueológicas y en yacimientos preferentemente correspondientes al paleolítico medio y superior, debido posiblemente a una mayor profusión de esta especie en tiempos Würmienses y a la actividad netamente cazadora de estas gentes, a la par que es en estas estaciones donde se ha prestado una mayor dedicación a la clasificación de su fauna; debido a la importancia paleontológica y a la incidencia que tiene, tanto climática como para determinar la actividad del hombre.

He aquí algunas estaciones arqueológicas con restos de lince:

- Hortus, hallados en la fase V B del Würm (Pillard,1972).
- Cova Negra, capas 20, 10, 6 y 1ª, niveles Musterienses y Mustero-Auriñaciense (Jordá, 1946-53; Perez, 1977; Fletcher, 1962).
- Lezetxiki, nivel 6, Musteriense (Altuna, 1972).
- Abrigo Axlor, Musteriense (Altuna, 1971).
- Cova del Gegant, entre niveles I y II a, Musteriense (Viñas y Villalta, 1975; Mir, 1975).
- Mollet I, estrato V, Musteriense, Würm I (Lumley y Ripoll, 1964-65).
- Cueva Morin, nivel Gravetiense (Altuna, 1971).
- Ermittia, Solutrense (Barandiaran, 1967; Altuna, 1972).
- Altamira, nivel Solutrense (Breuil y Obermaier, 1935).
- Cova del Parpalló, entre 3,5 y 4,25 m. Solutrense-Magdaleniense I (Pericot, 1942; Sos Baynat, 1942).
- Urtiaga, nivel E-F, debajo de un Magdaleniense final (J.M. Barandiaran y Sonneville-Bordes, 1964; Altuna, 1972).
- El Reclau Viver, niveles paleolítico superior (Estevez, 1977). Ver bibl.

- La Bora d'En Carreres, Magdaleniense superior (Soler, 1977). Ver bibl.
- Lumentxa , Magdaleniense final (Altuna, 1972). Ver bibl.
- Tute de Carrelore (Soule), Aziliense (Astre, 1949).

BIBLIOGRAFIA.-

Altuna, J. (1971). Los grandes bóvidos en los yacimientos prehistóricos guipuzcoanos. Primera Semana de Antropología Vasca. Bilbao. Pg. 487-496.

Altuna, J. (1971). Los mamíferos del yacimiento prehistórico de Morin(Santander). Patronato Cuevas Prehistóricas. Santander nº6. Pg. 367-399.

Altuna, J. (1972). Fauna de mamíferos de los yacimientos prehistóricos de guipuzcoa. Tesis doctoral. Munibe, 24. Fas. 1-4, 464 pgs.

Altuna, J. (1973). Fauna de mamíferos del yacimiento prehistórico de Los Casares (Guadalajara). Excavaciones Arqueológicas en España, nº 76 , Madrid. Pg. 97-116.

Astre, G. (1949). Gisement Azilien de la Tute de Carrelore à Lurbe (Basses--Pyrenées). Bull. Soc. Merid. Spéleol. et Prehis. Pg. 233-236.

Barandiaran, I. (1967). El Paleomesolítico del Pirineo Occidental. Bases para una sistematización tipológica del instrumental óseo paleolítico. Zaragoza.

Barandiaran, I. y Sonneville-Bordes. (1964). Magdalénien final et Azilien d'Urtiaga (Guipuzcoa). Etude statistique. Miscelanea en Homenaje al Abate Breuil. T-1. Barcelona. Pg. 163-171.

Bosk, G. (1877). On the Ancient or Quaternary Fauna of Gibraltar. Transal--tions of the Zoolog. Society of London. V-10. Part. II. Pg. 53-136.

Bonifay, M.F. (1968). Carnivores quaternaires du Sud-Est de la France. Tesis doctoral. Paris.

Breuil, H y Obermaier. (1935). La Cueva de Altamira. Madrid.

Boule, M. (1910). Les Grottes de Grimaldi (Baussé-Roussé). Geologie et Paleontologie. T-1. Fas. III. Mónaco. Pgs. 157-357.

Escalón de Fontón, M. (1975). L'Epipaléolithique et le Mésolithique dans le Midi de la France. L'Epipaléolithique Méditerranéen . Centre National de la Recherche Scientifique. Paris. Pg. 35-51.

Estevez, J. (1977). El Reclau Viver. El Paleolitic a les comarques Gironines. Girona. Pg. 130-139.

Fletcher, D. (1962). La Cova Negra de Játiva. La labor del S.I.P. en el pasado año 1957. Valencia.

Harlé, E. (1909). Essai d'une liste des Mammíferes et Oisseaux Quaternaires connus jusqu'ici dans le Péninsule Ibérique. Bull. Soc. Geolog. de France. 4, serie 9. Pg. 355-370.

Harlé, E. (1910). Les Mammiferes et Oisseaux Quaternaires connus jusqu'ici en Portugal. Memoire suivi d'une liste génerale de ceux de la Péninsule Ibérique. Comunicações do Comiss. do Serv. Geolog. de Portugal. nº 8. Pg. 22-86.

Hue, E. (1907). Musée Ostéologique. Etude de la faune quaternaire. Osteometrie de Mammíferes. 2 vols. Paris.

Jordá, F. (1946). La Cova Negra de Bellús (Játiva) y sus industrias líticas. A.P.L. nº II. Valencia. Pg. 11-29.
Jordá, F. (1953). Nuevos hallazgos en Cova Negra (Játiva). A.P.L. nº IV. Valencia. Pg. 1-13.
Lumley, H. de y Ripoll, E. (1964-65). El Paleolítico Medio en Catalunya. Ampurias 26-27. Pg. 2-67.
Mir, A. (1975). La industria lítica de la Cova del Gegant. Sitges (Barcelona). Speleon I. V Symposium de Espeleología. Barcelona. Pg. 39-48.
Monzonis, F. (1975). Resumen de las campañas paleontológicas en la Cueva B de Olopte (Pirineos Orientales). Speleon. Barcelona. Pg. 77-79.
Paulus, M. (1945). Etudes sur la faune quaternaire de la vallée inferieure du Gard ou Gardon. Bull. Mus. D'Hist. Natu. Marseille. T-V. 3-4.
Perez, M. (1977). Los mamíferos del yacimiento Musteriense de Cova Negra. Játiva (Valencia). Trabajos varios, nº 53. S.I.P. Valencia.
Pericot, L. (1942). La Cueva del Parpalló (Gandía). Madrid. 351 pgs.
Pillard, B. (1972). La faune des grands mammifères du Würmien II de la grotte de L'Hortus. Etudes Quaternaires. Memoire I. Pg. 163-205.
San Valero, J. (1950). La Cueva de la Sarsa (Bocairente). Trabajos varios. nº 12. Valencia. 99 pgs.
Soler, N. (1977). La Bora Gran d'En Carreres. El Paleolitic a les comarques gironines. Girona. Pg. 156-157.
Sos Baynat, V. (1942). Cueva del Parpalló. Avance de una clasificación de su fauna. Trabajos varios. nº 6. S.I.P. Valencia. Pg. 19-30.
Trullenque, R. (1901). La Avellanera. Caverna prehistórica en el término de Catadau. Almanaque de las Provincias. Pgs. 107-109.
Vilanova i Piera, J. (1893). Memoria geognostico-agrícola y protohistórica de la provincia de Valencia. Madrid.
Viñas, R. y Villalta, J.F. de (1975). El depósito cuaternario de la Cova del Gegant. Speleon. Barcelona. Pg. 19-33.

BIBLIOT.
ROS y LERANOZ

Foto 1

Foto 2

Foto 1.- Cueva del Puerto. Húmero, fémur y tibia de Felis (Lynx) pardina Spelaea. Boule.

Foto 2.- Cueva del Puerto. Cubitos y radios de Felis (Lynx) pardina Spelaea. Boule.

Foto 3.- Cueva del Puerto. Mandíbula con Pm_3, Pm_4 y M_1 de Felis (Lynx) pardina Spelaea. Boule. (Parte superior). Tamaño natural.

Cueva de la Avellanera. Mandíbula con Pm_4 de Felis (Lynx) pardina Spelaea. Boule. (Parte inferior). Tamaño natural.

Foto 3